

ЧИСЛЕННОЕ ПОСТРОЕНИЕ ВСЕХ РЕШЕНИЙ КРАЕВОЙ ЗАДАЧИ  
ДЛЯ СИСТЕМЫ НЕЛИНЕЙНЫХ ДИФФЕРЕНЦИАЛЬНЫХ УРАВНЕНИЙ

В.П.Доронин, Р.Г.Лукьянова, С.И.Фадеев

В данной работе рассматривается численное решение краевых задач, описывающих стационарные процессы типа распределения температуры в среде с постоянными коэффициентами переноса и источниками тепла, интенсивность которых зависит от температуры. В этой интерпретации краевая задача формулируется для уравнения (или системы уравнений), представляющего баланс тепла, причем на границах среды по предположению заданы однородные краевые условия.

В силу отмеченных особенностей уравнение баланса тепла имеет вид

$$L[\theta(x)] + \sigma F[\theta(x)] = p(x), \quad 0 \leq x \leq 1, \quad (1)$$

$$a_1 \frac{d\theta}{dx} + b_1 \theta = 1 \text{ при } x = 0, \quad a_2 \frac{d\theta}{dx} + b_2 \theta = 0 \quad \text{при } x = 1.$$

Здесь  $x$  - линейная координата,  $\theta$  - температура,  $p(x)$  - заданная функция, принадлежащая классу гладкости  $C^\infty$ ,  $a_1, b_1, a_2, b_2, \sigma$  - постоянные, причем  $\sigma \geq 0$ .

Определим  $L[\theta]$  как линейный однородный дифференциальный (интегродифференциальный) оператор с постоянными коэффициентами и старшей производной второго порядка. Случай, когда  $L[\theta]$  - интегродифференциальный оператор, связан с преобразованием к (I) системы уравнений, описывающей теплообмен между двумя средами, из которых одна нетеплопроводна.

Зависимость источников тепла от температуры определяется нелинейным положительным оператором  $F[\theta]$ . Будем считать, что  $F[\theta(x)]$  принадлежит тому же классу, что и  $\theta(x)$ , т.е. классу  $C^{n+2}$ .

Преобразуем (I) к нелинейному интегральному уравнению типа Гаммерштейна [1]:

$$\theta(x) = \theta_0 + \sigma \int_0^1 G(x, \xi) F[\theta(\xi)] d\xi, \quad (2)$$

где  $G(x, \xi)$  – функция Грина оператора  $L$  [2].

$$L[G] + \delta(x - \xi) = 0, \quad (3)$$

$\delta$  – дельта-функция, а  $\theta(x)$  – решение задачи (I) при  $\sigma = 0$

$$\theta(x) = - \int_0^1 G(x, \xi) p(\xi) d\xi.$$

Поскольку  $L$  – оператор с постоянными коэффициентами, то вычисление функции Грина в конечном виде не представляет затруднений.

В силу нелинейности оператора  $F$ , параметры, входящие в формулировку задачи (I) или интегрального уравнения (2), могут определять, вообще говоря, несколько решений, и в этом случае не все решения будут устойчивы по Ляпунову: если в качестве начального условия для параболического уравнения

$$\frac{\partial \bar{\theta}}{\partial t} = L[\bar{\theta}] + \sigma F[\bar{\theta}] - p \quad (4)$$

выбрать  $\bar{\theta}(x, 0)$ , в известном смысле близким к решению (I), то  $\bar{\theta}(x, t)$  будет стремиться к  $\theta(x)$  при  $t \rightarrow \infty$ , если  $\theta(x)$  устойчиво [3]. Поэтому представляют интерес численные методы, позволяющие находить все решения (I) и, следовательно, построить бифуркационную кривую, с которой естественно сопоставлять результаты по исследованию устойчивости решений.\*)

Отметим, что известные численные методы решения краевой задачи (I) (например, метод параболического спуска) позволяют достаточно эффективно строить устойчивые решения. В случае, когда требуется найти как устойчивые, так и неустойчивые решения (последние часто представляют самостоятельный интерес для приложений), обычно применяется метод стрельбы. При этом существенно то обстоятель-

\*). Бифуркационной кривой будем называть график функции  $\sigma = \sigma[\theta(0)]$  задачи (I). В рассматриваемых примерах эта функция однозначная, но ее обратная функция может быть многозначной.

ство, что решение задачи Коши для (I) с начальными данными при  $x = 0$  и удовлетворяющее граничному условию при  $x = 1$ , оказывается уже единственным.

I. Рассмотрим еще один способ нахождения всех стационарных решений, использующий интегральное представление краевой задачи, что является непосредственным обобщением метода, рассмотренного в [4], на случай уравнения (I) или систему уравнений типа (I). Не останавливаясь на обосновании этого метода, заметим, что результаты вычислений, полученные с его помощью, можно контролировать решением задачи Коши.

Для того чтобы избежать затруднений, связанных с неединственностью (2), будем задавать, как и в методе стрельбы, значение  $\theta(0)$  (область изменения  $\theta(0)$  обычно заранее известна из физической интерпретации задачи). Полагая в (2)  $x = 0$ , получаем

$$\theta_0 = \theta_0 + \sigma \int_0^1 G(0, \xi) F[\theta(\xi)] d\xi, \quad (5)$$

$$\theta_0 = \theta(0), \quad \theta_0 = \theta(0).$$

Используем (5) для исключения параметра  $\sigma$  в (2):

$$\theta(x) = \theta(x) + (\theta_0 - \theta_0) \frac{\int_0^1 G(x, \xi) F[\theta(\xi)] d\xi}{\int_0^1 G(0, \xi) F[\theta(\xi)] d\xi}. \quad (6)$$

Функциональное уравнение (6) и является конечной целью преобразования задачи (I).

Если решение (6) найдено, то параметр  $\sigma$ , соответствующий заданному  $\theta_0$ , определится единственным образом из (5). Придавая  $\theta_0$  различные значения, после решения (6) можем поточечно построить зависимость  $\sigma$  от  $\theta_0$  – бифуркационную кривую задачи (I).

В рассмотренных далее примерах, связанных с математическим моделированием в химической технологии, оказалось возможным применить метод последовательных приближений для решения функционального уравнения:

$$\left. \begin{aligned} \theta^{(k+1)}(x) &= \theta(x) + \sigma^{(k)} \int_0^1 G(x, \xi) F[\theta^{(k)}(\xi)] d\xi, \\ \sigma^{(k)} &= \frac{\theta_0 - \theta_0}{\int_0^1 G(0, \xi) F[\theta^{(k)}(\xi)] d\xi}, \end{aligned} \right\} \quad (7)$$

где  $k$  – номер итерации,  $k = 0, 1, 2, \dots$ ; начальное приближение для  $\theta$  имеет вид:

$$\theta^{(0)}(x) = \frac{\theta_0}{\theta_0} \theta(x). \quad (8)$$

Число итераций естественно связать с относительной погрешностью  $\epsilon > 0$ ;  $\theta^{(k+1)}(x)$  принимается за решение (6), если  $\frac{|\sigma^{(k+1)} - \sigma^{(k)}|}{\sigma^{(k)}} < \epsilon$ .

Заметим, что метод последовательных приближений с той особенностью, что на каждой итерации  $\theta^{(k)}(x)$  принимает заданное значение  $\theta_0$  при  $x = 0$ , можно применить непосредственно к (I). Тождественный с (7) прием состоит в следующем. Рассмотрим линейную краевую задачу

$$\begin{aligned} L[\tilde{\theta}^{(k+1)}(x)] &= p(x) - \sigma^{(k)} \Phi^{(k)}(x), \\ \Phi^{(k)}(x) &\equiv F[\theta^{(k)}(x)], \end{aligned} \quad (9)$$

где  $\Phi^{(k)}(x)$  и  $\sigma^{(k)}$  известны из предыдущих итераций. Решение (9) определяет  $\theta^{(k+1)}(x)$ ,  $\Phi^{(k+1)}(x)$  и  $\sigma^{(k+1)}$  в виде:

$$\begin{aligned} \theta^{(k+1)}(x) &= \frac{\theta_0}{\tilde{\theta}^{(k+1)}(0)} \tilde{\theta}^{(k+1)}(x), \\ \sigma^{(k+1)} &= \frac{\theta_0}{\tilde{\theta}^{(k+1)}(0)} \sigma^{(k)}. \end{aligned}$$

При  $k = 0$   $\sigma^{(0)} = 1$ , а  $\theta^{(0)}(x)$  определено в (8).

2. Для вычисления итераций (7) разобьем отрезок  $[0, 1]$  на  $n$  частей и представим каждый из интегралов, входящих в (7), в виде

суммы интегралов по элементарным отрезкам  $[x_s, x_{s+1}]$ ,  $x_{s+1} = x_s + h_s$ ,  $s = 0, 1, \dots, n-1$ ,  $x_0 = 0$ ,  $x_n = 1$ . В результате получим следующее уравнение (индексы, определяющие номера итераций, опустим):

$$\left. \begin{aligned} \theta(x) &= \theta(x) + \sigma \left[ \sum_{s=0}^{i-1} A_s(x) + \sum_{s=i}^{n-1} B_s(x) \right], \\ \sigma &= \frac{\theta_0 - \theta_0}{\sum_{s=0}^{n-1} B_s(0)}. \end{aligned} \right\} \quad (10)$$

Здесь

$$A_s(x) = \int_{x_s}^{x_{s+1}} G_+(x, \xi) \Phi(\xi) d\xi, \quad B_s(x) = \int_{x_s}^{x_{s+1}} G_-(x, \xi) \Phi(\xi) d\xi$$

$$G_+ = G|_{x \geq \xi}, \quad G_- = |_{x \leq \xi},$$

$\Phi(\xi)$  определена в (9). В дальнейшем будем обозначать через  $\Phi_s$  и  $\frac{d\Phi}{d\xi}_s$  соответственно  $\Phi(x_s)$  и  $\frac{d\Phi}{d\xi}(x_s)$ . Аналогичные обозначения будут использоваться для  $\theta(x)$  и  $\theta(x)$ .

Простейшая вычислительная схема может быть получена путем замены  $\Phi(\xi)$  на кусочно-постоянную функцию  $\Phi^*(\xi)$ :

$$\Phi^*(\xi) \equiv F_s^* = \frac{1}{2} (\Phi_s + \Phi_{s+1}), \quad x_s + 0 \leq \xi \leq x_{s+1} - 0.$$

При этом погрешность вычисления  $A_s$  и  $B_s$  имеет порядок  $h_s^3$ . Положив в (10)  $x = x_i$ ,  $i = 1, 2, \dots, n$ , сведем задачу к решению системы  $n$  трансцендентных относительно  $\theta_i$  уравнений:

$$\left. \begin{aligned} \theta_i &= \theta_i + \sigma \left( \sum_{s=0}^{i-1} A_{is}^* F_s^* + \sum_{s=i}^{n-1} B_{is}^* F_s^* \right), \\ \sigma &= \frac{\theta_0 - \theta_0}{\sum_{s=0}^{n-1} B_{is}^* F_s^*}, \end{aligned} \right\} \quad (II)$$

где

$$A_{is}^* = \int_{x_s}^{x_{s+1}} G_+(x_i, \xi) d\xi, \quad B_{is}^* = \int_{x_s}^{x_{s+1}} G_-(x_i, \xi) d\xi.$$

Найденное таким способом численное решение задачи принадлежит классу  $C^1$ , если  $p(x)$  из класса кусочно-непрерывных функций с конечным числом разрывов первого рода.

Более высокая, чем в предыдущем случае, точность вычислений достигается заменой  $\Phi(\xi)$  на эрмитов сплайн  $Q(\xi)$  [5]. Пусть, например,  $Q(\xi)$  – кубический эрмитов сплайн: в точках разбиения отрезка  $[0,1]$   $Q(\xi) \text{ и } \frac{dQ}{d\xi}$  принимают соответственно значения  $\Phi(\xi)$  и  $\frac{d\Phi}{d\xi}$ . Обозначим:

$$Q(\xi) = Q^{(s)}(\xi) \text{ при } x_s \leq \xi \leq x_{s+1}, \quad (12)$$

$$Q^{(s)}(x_s + h_s t) = t a_0^{(s)} + (1-t)b_0^{(s)} + t(1-t)[ta_1^{(s)} + (1-t)b_1^{(s)}], \\ 0 \leq t \leq 1.$$

Здесь

$$a_0^{(s)} = \Phi_{s+1}, \quad a_1^{(s)} = -h_s \frac{d\Phi_{s+1}}{dx} + a_0^{(s)} - b_0^{(s)},$$

$$b_0^{(s)} = \Phi_s, \quad b_1^{(s)} = h_s \frac{d\Phi_s}{dx} - a_0^{(s)} + b_0^{(s)}.$$

В выражение  $\frac{d\Phi}{d\xi}$  входит производная  $\frac{d\Phi}{dx}$ . Поэтому будем рассматривать совместно с (10) уравнение

$$\frac{d\Phi}{dx} = \frac{d\Phi}{d\xi} + \sigma \left[ \sum_{s=0}^{i-1} A_s'(x) + \sum_{s=i}^{n-1} B_s'(x) \right], \quad (13)$$

где

$$A_s'(x) = \int_{x_s}^{x_{s+1}} \frac{\partial G_+}{\partial x}(x, \xi) \Phi(\xi) d\xi, \quad B_s'(x) = \int_{x_s}^{x_{s+1}} \frac{\partial G_-}{\partial x}(x, \xi) \Phi(\xi) d\xi.$$

Положив в (10) и (13)  $x = x_i$ , сведем задачу к решению системы 2n трансцендентных относительно  $\theta_i$  и  $\frac{d\theta_i}{dx}$  уравнений:

$$\left. \begin{aligned} \theta_i &= \theta_i + \sigma \left( \sum_{s=0}^{i-1} A_{is} + \sum_{s=i}^{n-1} B_{is} \right), \\ \frac{d\theta_i}{dx} &= \frac{d\theta_i}{d\xi} + \sigma \left( \sum_{s=0}^{i-1} A_{is}' + \sum_{s=i}^{n-1} B_{is}' \right). \end{aligned} \right\} \quad (14)$$

Весь

$$\sigma = \frac{\theta_0 - \theta_n}{\sum_{s=0}^{n-1} B_{is}},$$

$$A_{is} = \int_{x_s}^{x_{s+1}} G_+(x_i, \xi) Q^{(s)}(\xi) d\xi, \quad B_{is} = \int_{x_s}^{x_{s+1}} G_-(x_i, \xi) Q^{(s)}(\xi) d\xi, \\ A_{is}' = \int_{x_s}^{x_{s+1}} \frac{\partial G_+}{\partial x}(x_i, \xi) Q^{(s)}(\xi) d\xi, \quad B_{is}' = \int_{x_s}^{x_{s+1}} \frac{\partial G_-}{\partial x}(x_i, \xi) Q^{(s)}(\xi) d\xi.$$

К начальному приближению (8) добавим  $\frac{d\theta_0}{dx}$  – начальное приближение для производной.

Отметим, что погрешности вычислений  $A_s$ ,  $B_s$ ,  $A_s'$  и  $B_s'$  имеют порядок  $h_s^5$ . Если  $p(x)$  – из класса  $C^1$ , то численное решение задачи, как и  $\theta(x)$ , принадлежит классу  $C^3$ .

Предлагаемый алгоритм проверялся на точных решениях, в том числе на решениях с большими градиентами. Показательным в этом смысле явился следующий пример.

Точное решение краевой задачи

$$\frac{d^2\theta}{dx^2} + \sigma(1-\theta) = 0, \quad \frac{d\theta}{dx} = 0 \text{ при } x = 0, \theta = 0 \text{ при } x = 1$$

имеет вид

$$\theta(x) = 1 - \frac{\operatorname{ch}(x\sqrt{\sigma})}{\operatorname{ch}\sqrt{\sigma}}, \quad \theta_0 = 1 - \frac{1}{\operatorname{ch}\sqrt{\sigma}},$$

т.е.  $\sqrt{\sigma} \rightarrow \infty$  при  $\theta_0 \rightarrow 1$ , как  $\ln \frac{2}{(1-\theta_0)}$ , а график функции  $\theta(x)$  все более напоминает "ступеньку". Численное решение строилось при заданных значениях  $\theta_0$ , отличающихся от 1 на величины порядка  $10^{-6}$  –  $10^{-8}$ . Чтобы получить значения  $\sigma$ , близкие к точным, число узлов равномерного разбиения отрезка  $[0,1]$  доводилось до 1200–1600. Результаты вычислений свидетельствуют об устойчивости счета при решении системы (14) большой размерности для рассматриваемого примера. На этом же примере были опробованы схемы, в которых гладкость эрмитового сплайна доводилась до  $C^4$ .

3. В качестве приложения метода рассмотрено решение трех краевых задач, моделирующих стационарные процессы химических реакций. В первом примере мы имеем обыкновенное дифференциальное уравнение второго порядка; во втором примере – систему обыкновенных дифференциальных уравнений, в которой одно уравнение второго порядка, а два других – первого порядка; в третьем примере – систему двух обыкновенных дифференциальных уравнений второго порядка.

Применявшийся численный метод состоял в редукции краевых задач к системам типа (14) при равномерном разбиении отрезка по  $x$ . Вычисления в известном объеме воспроизводили результаты, полученные ранее рядом авторов [6-8], которые численным способом исследовали множественность решений аналогичных краевых задач. Отметим, что бифуркационные кривые для краевых задач в последних двух примерах, насколько нам известно, впервые приводятся в данной работе.

**ПРИМЕР I.** Математическая модель реакции в зерне катализатора шарообразной формы связана с решением следующей краевой задачи (в безразмерных переменных):

$$1[\theta(x)] + \alpha F[\theta(x)] = 0, \quad 0 \leq x \leq 1, \quad (15)$$

$$\frac{d\theta}{dx} = 0 \text{ при } x = 0, \quad \frac{d\theta}{dx} = -N\theta \text{ при } x = 1;$$

$$1[\theta] = \frac{d^2\theta}{dx^2} + \frac{2}{x} \frac{d\theta}{dx}, \quad F[\theta] = (C - \theta)e^{\frac{\theta}{a+b\theta}}, \\ C = \alpha\theta(1) + \beta.$$

Здесь  $x$  – линейная координата, отнесенная к радиусу шара,  $\theta$  – "безразмерная" температура;  $\sigma, N, a, b, \alpha, \beta$  – безразмерные положительные параметры, характеризующие физико-химические свойства среды.

Воспользуемся функцией Грина оператора 1

$$G(x, \xi) = \begin{cases} G_-(x, \xi) = \xi^2 \left(\frac{1}{\xi} - \frac{N-1}{N}\right), & x \leq \xi, \\ G_+(x, \xi) = \xi^2 \left(\frac{1}{x} - \frac{N-1}{N}\right), & x \geq \xi, \end{cases}$$

для интегрального представления (15)

$$\theta(x) = \sigma \left\{ \int_0^x G_-(x, \xi) F[\theta(\xi)] d\xi + \int_x^1 G_+(x, \xi) F[\theta(\xi)] d\xi \right\}. \quad (16)$$

Из (16) следует, что

$$\frac{d\theta}{dx} = -\frac{\sigma}{x^2} \int_0^x \xi^2 F[\theta(\xi)] d\xi, \quad (17)$$

и, кроме того,

$$\theta(1) = \frac{\sigma}{N} \int_0^1 \xi^2 F[\theta(\xi)] d\xi.$$

Таким образом, решение (15) – монотонно убывающая от  $\theta_0$  до  $\theta(1)$  положительная функция,  $0 < \theta_0 < C$ .

Система (14) в данном случае может быть записана (для  $i = 1, 2, \dots, n$ ) в следующем виде:

$$\left. \begin{aligned} \theta_i &= \sigma \left( \frac{1}{x_i} \sum_{s=0}^{i-1} A_s + \sum_{s=1}^{n-1} B_s - \frac{N-1}{N} \sum_{s=0}^{i-1} A_s \right), \\ \frac{d\theta_i}{dx} &= -\frac{\sigma}{x_i^2} \sum_{s=0}^{i-1} B_s, \quad \sigma \text{ и } \frac{\theta_0}{\sum_{s=0}^{n-1} (B_s - \frac{N-1}{N} A_s)} \end{aligned} \right\} \quad (18)$$

Здесь

$$A_s = \int_{x_s}^{x_{s+1}} \xi^2 \theta^{(s)}(\xi) d\xi, \quad B_s = \int_{x_s}^{x_{s+1}} \xi \theta^{(s)}(\xi) d\xi,$$

где  $\theta^{(s)}(\xi)$  – эрмитов локальный сплайн, определенный в (12).

Будем считать известными  $C, N, a, b$  и  $\alpha$ . После решения (18) при заданных значениях  $\theta_0$ ,  $0 < \theta_0 < C$ , строится бифуркационная кривая  $\alpha(\theta_0)$  и функция  $\beta(\theta_0)$

$$\beta(\theta_0) = C - \alpha\theta(1).$$

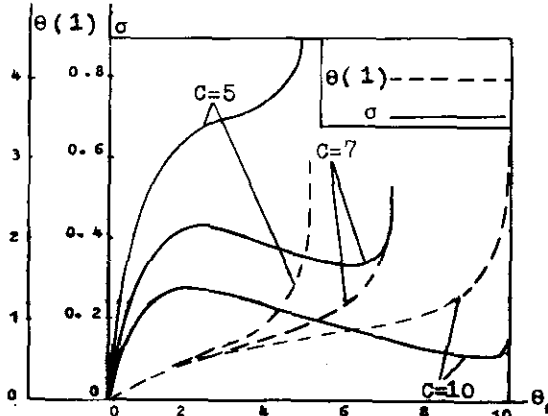


Рис. I

**ПРИМЕР 2.** Математическая модель реактора - "кипящий слой" - описывается системой уравнений (переменные взяты в безразмерном виде):

$$\begin{aligned} \frac{1}{P} \frac{d^2\theta}{dx^2} - H(\theta - \theta_x) - B(\theta - \theta_T) + \sigma f(\theta)C = 0, \\ \frac{d\theta_T}{dx} = B(\theta - \theta_T), \quad \frac{dC}{dx} = -Kf(\theta)C, \quad (I9) \\ f(\theta) = \frac{\phi(\theta)}{1 + v\phi(\theta)}, \quad \phi(\theta) = \exp\left(\frac{\theta}{1 + \lambda\theta}\right), \end{aligned}$$

с граничными условиями:

$$\frac{d\theta}{dx} = 0, \quad \theta_T = \theta_T^*, \quad C = 1 \text{ при } x = 0; \quad \frac{d\theta}{dx} = 0 \text{ при } x = 1.$$

Здесь  $\theta$  пропорциональна температуре твердой фазы,  $\theta_T$  пропорциональна температуре газа,  $C$  - концентрация,  $\theta_x$  - постоянная, пропорциональная температуре холодильника;  $P, H, B, K, \sigma, v, \lambda$  - безразмерные положительные параметры, характеризующие физико-химические свойства среды.

Для иллюстрации метода приведем результаты вычислений в случае  $N = 5$ ,  $C = 5, 7, 10$ ,  $a = 1$ ,  $b = 0.05$  (рис. I). Из вида бифуркационных кривых следует, что мы имеем одно решение (I5) при любом значении  $\sigma > 0$ , если  $C = 5$ . Если  $C = 7$  или  $C = 10$ , то возможное число решений возрастает до трех (например, при  $\sigma = 0.4$ ,  $C = 7$  или  $\sigma = 0.2$ ,  $C = 10$ ).

Разрешим второе и третье уравнения системы (I9) относительно  $\theta_T$  и  $C$  и подставим найденные выражения в первое уравнение. В результате получим интеграло-дифференциальное уравнение относительно  $\theta$ :

$$1[\theta(x)] + \sigma F[\theta(x)] = p(x), \quad (20)$$

где

$$\begin{aligned} 1[\theta(x)] &= \frac{1}{P} \frac{d^2\theta}{dx^2} - (B + H)\theta + B^2 \int_0^x e^{-B(x-\xi)} \theta(\xi) d\xi, \\ F[\theta(x)] &= f[\theta(x)] \exp\left\{-K \int_0^x f[\theta(\xi)] d\xi\right\}, \\ p(x) &= -H\theta_x - B\theta_T^* e^{-Bx}. \end{aligned}$$

Как нетрудно убедиться, интегральное уравнение, соответствующее краевой задаче (20), можно записать в следующем виде:

$$\begin{aligned} \theta(x) &= \theta(x) + K \left\{ g(x) \int_0^1 g(1-\xi) F[\theta(\xi)] d\xi + \right. \\ &\quad \left. - \frac{dg}{dx}(1) \int_0^x \left[ \int_0^{1-\xi} g(\tau) d\tau \right] F[\theta(\xi)] d\xi \right\}. \quad (21) \end{aligned}$$

Здесь

$$\begin{aligned} g(x) &= \sum_{k=1}^3 u_k e^{r_k x}, \quad \theta(x) = \theta_x + \frac{\theta_T^* - \theta_x}{\Delta B} \sum_{k=1}^3 v_k e^{r_k x}, \\ u_1 &= r_1(r_3^2 - r_2^2), \quad u_2 = r_2(r_1^2 - r_3^2), \quad u_3 = r_3(r_2^2 - r_1^2), \\ v_1 &= \frac{1}{r_1} (e^{r_3} - e^{r_2}), \quad v_2 = \frac{1}{r_2} (e^{r_1} - e^{r_3}), \quad v_3 = \frac{1}{r_3} (e^{r_2} - e^{r_1}), \end{aligned}$$

$$K = \frac{\sigma P}{g(0) \frac{dg}{dx}(1)}, \quad \Delta = \sum_{k=1}^3 \frac{v_k}{B+r_k},$$

$r_1, r_2, r_3$  - корни кубического уравнения

$$(B + r)(r^2 - PR) = PB^2. \quad (22)$$

Геометрическая интерпретация (22) показывает, что существуют всегда три действительных корня, причем один корень положительный, а два других отрицательные. К (21) присоединим выражение производной

$$\frac{d\theta}{dx} = \frac{d\theta}{dx} + \kappa \left\{ \frac{dg(x)}{dx} \int_0^1 g(1-\xi) F[\theta(\xi)] d\xi + \right. \\ \left. + \frac{dg(1)}{dx} \int_0^x g(x-\xi) F[\theta(\xi)] d\xi \right\}. \quad (23)$$

Конкретный вид системы (14), которая следует из (21)-(23), мы приводить не будем. Отметим, что применение метода последовательных приближений для решения (14) в рассматриваемом случае эффективно, если  $P \leq 1$  и  $P(H+v) \leq 10$ : 3-4 итерации при  $\epsilon \approx 10^{-3}$ .

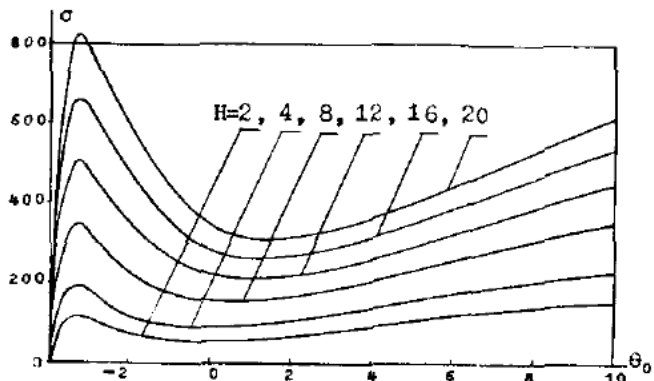


Рис. 2

Примеры построения бифуркационных кривых задачи (19) приведены на рис. 2, при следующих значениях параметров:  $P = 0.5$ ,  $v = 5$ ,  $K = 5$ ,  $\theta_x = \theta_F = -4$ ,  $\nu = 0.5$ ,  $\lambda = 0.05$ . В зависимости от величины  $H$  и  $\sigma$  число решений задачи может изменяться от одного до трех.

**ПРИМЕР 3.** Математическая модель реактора – "неподвижный слой" – представлена краевой задачей для системы двух обыкновенных дифференциальных уравнений второго порядка относительно "безразмер-

ной" температуры  $\theta$  и степени превращения вещества  $v$

$$\begin{cases} l_1[\theta(x)] + \sigma_1 F[\theta(x), v(x)] = -H\theta_x, \\ l_2[\theta(x)] + \sigma_2 F[\theta(x), v(x)] = 0, \end{cases} \quad (24)$$

$$\frac{d\theta}{dx} = 0, \quad \frac{dv}{dx} = 0 \text{ при } x = 0;$$

$$\frac{d\theta}{dx} = -2P_1\theta, \quad \frac{dv}{dx} = -2P_2v \text{ при } x = 1.$$

Здесь

$$l_1[\theta] = \frac{1}{2P_1} \frac{d^2\theta}{dx^2} + \frac{d\theta}{dx} - H\theta, \quad l_2[\theta] = \frac{1}{2P_2} \frac{d^2v}{dx^2} + \frac{dv}{dx},$$

$$F[\theta, v] = \varphi(\theta)(1-v), \quad \varphi(\theta) = \exp\left(\frac{\theta}{1+\lambda\theta}\right),$$

$P_1, P_2, H, \lambda, \sigma_1, \sigma_2$  – положительные постоянные, характеризующие физико-химические свойства среды,  $\theta_x$  пропорциональна температуре холодильника.

Используя выражения функций Грина операторов  $l_1$  и  $l_2$ , преобразуем (24) к системе двух интегральных уравнений

$$\begin{aligned} \theta(x)^* &= \theta(x) + \sigma_1 \left\{ \int_0^x G_+(x, \xi) F[\theta(\xi), v(\xi)] d\xi + \right. \\ &\quad \left. + \int_x^1 G_-(x, \xi) F[\theta(\xi), v(\xi)] d\xi \right\}, \\ v(x) &= \sigma_2 \left\{ \int_0^x e^{-2P_2(x-\xi)} F[\theta(\xi), v(\xi)] d\xi + \int_x^1 F[\theta(\xi), v(\xi)] d\xi \right\}. \end{aligned} \quad (25)$$

При этом употреблены следующие обозначения:

$$G_-(x, \xi) = \frac{1}{2[g(1)+w(1)]} g(x)g(1-\xi)\exp[-(\Delta - P_1)(\xi-x)],$$

$$G_+(x, \xi) = \frac{1}{2[g(1)+w(1)]} g(1-x)g(\xi)\exp[-(\Delta + P_1)(x-\xi)],$$

$$g(x) = 1+e^{-2\Delta x} + \frac{P_1}{\Delta} (1-e^{-2\Delta x}), \quad w(x) = \frac{H}{\Delta} (1-e^{-2\Delta x}),$$

$$\Delta^2 = P_1^2 + 2HP_1, \quad \theta(x) = \sigma_x \left\{ 1 - \frac{\sigma(x)}{\sigma(1)+\omega(1)} \exp[-(\Delta-P_1)(1-x)] \right\}.$$

Наряду с (25) будем рассматривать выражения для производных

$$\left. \begin{aligned} \frac{d\theta}{dx} &= \frac{d\theta}{dx} + \sigma_1 \left\{ \int_0^x \frac{\partial G}{\partial x} + (x, \xi) F[\theta(\xi), v(\xi)] d\xi + \right. \\ &\quad \left. + \int_x^1 \frac{\partial G}{\partial x} (x, \xi) F[\theta(\xi), v(\xi)] d\xi \right\}, \\ \frac{dv}{dx} &= -2P_2 \sigma_2 \int_0^x e^{-2P_2(x-\xi)} F[\theta(\xi), v(\xi)] d\xi. \end{aligned} \right\} \quad (26)$$

Из второго уравнения (26) следует, что  $v(x)$  монотонно убывает с ростом  $x$  от  $v_0$  до  $v(1)$ ,  $v_0 = v(0) < 1$ .

Параметры  $\sigma_1$  и  $\sigma_2$  исключаются из (25)–(26) заданием при  $x=0$  значений  $\theta_0$  и  $v_0$ ,  $\theta_0 > \theta_a$ ,  $0 < \theta_a < 1$ . В результате мы получим по аналогии с (14) систему 4n трансцендентных уравнений относительно  $\theta_1, v_1, \frac{d\theta_1}{dx}, \frac{dv_1}{dx}$ ,  $i = 1, 2, \dots, n$ , которую будем решать методом последовательных приближений. В качестве нулевого приближения достаточно взять выражения  $\theta^{(0)}(x), v^{(0)}(x), \frac{d\theta^{(0)}}{dx}$  и  $\frac{dv^{(0)}}{dx}$ , где

$$\theta^{(0)}(x) = \frac{\theta_0}{\bar{\theta}_2} \theta(x), \quad v^{(0)}(x) = v_0 \left( 1 - \frac{P_2}{1+P_2} x^2 \right).$$

Бифуркационная кривая задачи (24) строится следующим образом. Будем считать известными параметры, входящие в формулировку задачи (24), кроме  $\sigma_1$ . При произвольно фиксированных  $\theta_0$  и  $v_0$  вычислительное значение  $\sigma_2$ , вообще говоря, не будет равно заданному значению  $\bar{\sigma}_2$ . Поэтому для каждого  $\theta_0$  ищется такое  $\bar{v}_0$ , что  $\sigma_2(\theta_0, \bar{v}_0) = \bar{\sigma}_2$ . Оказывается, последнее равенство определяет единственное  $\bar{v}_0$  (при изменении  $v_0$  от 0 до 1  $\sigma_2(\theta, v_0)$  монотонно стремится к бесконечности), что позволяет поточечно построить кривые  $\sigma_2(\theta_0)$  и  $v_0(\theta_0)$ , вдоль которых  $\sigma_2$  равно заданному значению.

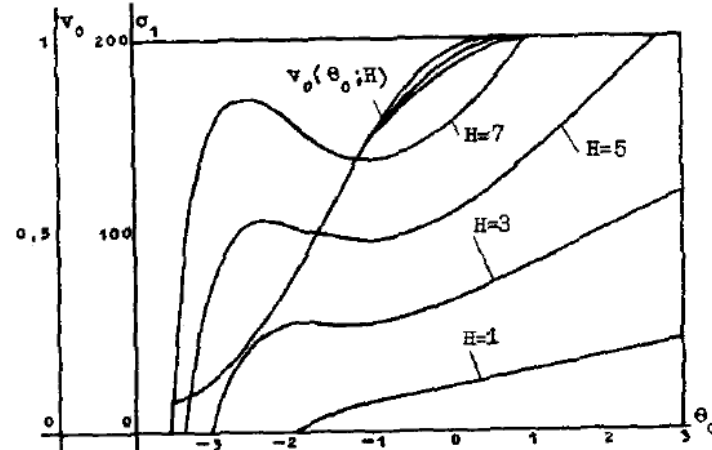


Рис. 3

Представленные на рис. 3 результаты получены при следующих значениях параметров:  $P_1 = 0.05$ ,  $P_2 = 1$ ,  $\lambda = 0.05$ ,  $\sigma_2 = 5$ ,  $\theta_a = -4$ . Графики функций  $v_0(\theta_0; H)$ ,  $H = 1 \dots 7$ , практически совпадают в большей части области определения  $v_0$ . Нижняя из этих кривых соответствует значению  $H = 1$ , средняя –  $H = 3$  и  $H = 5$ , верхняя –  $H = 7$ .

4. Существенным моментом в предлагаемом методе является преобразование краевой задачи к функциональному уравнению, решение которого оказывается уже единственным, либо построение итерационного процесса, аналогичного (9). И в том и другом случаях мы свели решение нелинейной краевой задачи к последовательности решений линейных краевых задач. Однако организация итерационного процесса может быть иной (правда, за счет усложнения алгоритма). В частности, возможно применение метода Ньютона к функциональному уравнению или квазилинейаризации с учетом особенности, отмеченной в (9) [9–10].

Другое обстоятельство, на которое нам хотелось бы обратить внимание, связано с распространением метода на случай нелинейных краевых задач типа задачи Дирихле для квазилинейного уравнения Пуассона:

$$\Delta\theta + \alpha F[\theta] = 0, \quad \theta|_{\Gamma} = 0, \quad (27)$$

где  $\Gamma$  - граница выпуклой области, обладающей симметрией относительно осей координат. Будем задавать  $\theta_0$  - значение  $\theta$  в начале координат. Тогда метод последовательных приближений применительно к (27) строится таким образом, чтобы на каждой итерации решение линейной краевой задачи в начале координат было равно  $\theta_0$ .

В заключение авторы выражают благодарность Т.И.Зеленнику, по инициативе которого была проделана предлагаемая работа, и В.С.Шеплеву за обсуждение результатов.

#### Л и т е р а т у р а

1. ТРИКОМИ Ф. Интегральные уравнения. М., ИЛ, 1960.
2. МИХЛИН С.Г. Интегральные уравнения и их приложения к некоторым проблемам механики, математической физики и техники. М.-Л., Гостехиздат, 1949.
3. ЗЕЛЕНИК Т.И. Качественная теория краевых задач для квазилинейных уравнений второго порядка параболического типа. Новосибирск, 1972.
4. ЛУКЬЯНОВА Р.Г., ФАДЕЕВ С.И. О численном решении краевой задачи, связанной с электростатическим притяжением мембранны. - В кн.: Моделирование в пленочной электромеханике. (Вычислительные системы, вып. 66.) Новосибирск, 1975, с. 61-90.
5. ВАРГА Р. Функциональный анализ и теория аппроксимации в численном анализе. М., "Мир", 1974.
6. LUSS D. Some further observation concerning multiplicity and stability of distributed parameter systems. - "CES", 1972, v. 27, p.2299.
7. Hlavacek V., Hofmann H., Kubicek M. Transient axial heat and mass transfer in tubular reactors.-"CES", 1971, v.26,p.1629.
8. ЕМЕЛЬЯНОВ И.Д., ШЕПЛЕВ В.С., СЛИНЬКО М.Г. Число стационарных состояний экзотермических процессов в организованном псевдоожженном слое катализатора.-"Докл. АН СССР", 1975, т.221, с.402-404.
9. КАНТОРОВИЧ Л.В. Функциональный анализ и прикладная математика. -"Успехи мат. наук", 1948, т.3, вып. 6, с. 89-185.
10. БЕЛМАН Р., КАЛАБА Р. Квазилинеаризация и нелинейные краевые задачи. М., "Мир", 1968.

Поступила в ред.-изд.отд.  
6 января 1977 года